

### III-52 土の動的せん断弾性係数について

京都大学防災研究所 研究員 柴田 徹文  
同 研究員 石黒良夫

#### 1. 研究の目的

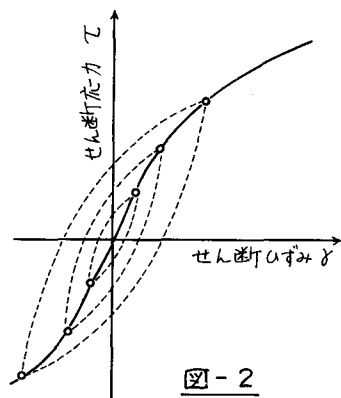
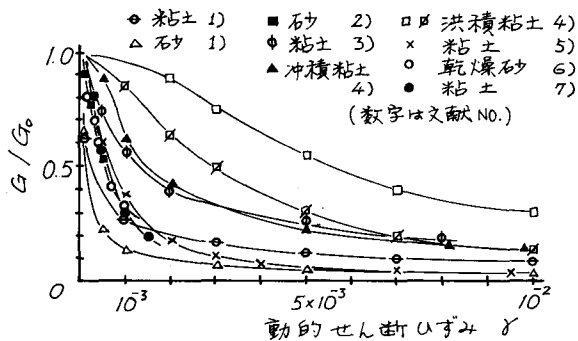
土の動的せん断弾性係数  $G$  に関する研究では、これまでに種々の材料を対象に、各種の試験法によって数多くの測定がなされてきている。それらデータの中から比較的広範囲に動的ひずみ  $\gamma$  を変化させたものを選び、微小ひずみ ( $< 10^5$ ) における動的せん断弾性係数を  $G_0$  としたとき、 $G/G_0$  と  $\gamma$  の関係をプロットすると図-1がえられる。この図は与えたひずみの大きさによる  $G$  の低下割合を示すものであり、粘土も砂も含まれているが、土の種類（あるいは試験法？）によって傾向はかなり異なっている。この報告の目的は、図-1の関係を統一的に表現しようとするところである。さらに  $G$  に関する測定結果より若干の考察を行なうところである。

なお複雑を避けるために、図中のプロット等にも引用の著者名は省略し、文献番号の記入で代用させていただいいたことを予めお断わりしておきたい。

#### 2. 動的応力～ひずみ関係

せん断応力をあるいはひずみを土供試体に対して動的に繰り返し載荷すると、図-2に模式的に描くような履歴ループがえられる。ここで対象にする  $G$  は、実線で描いた履歴ループの上下端を結ぶ直線の傾斜に相当し、等価弾性係数といわれるものである。いま履歴ループの上端を連ねると図中の実線で示す曲線がえられるので、これを振りに動的応力～ひずみ曲線とよぶことにした。

動的応力～ひずみ曲線の形についてはいろいろの扱いができるが、応力～ひずみ関係を両対数表示すれば降伏値を求められることが、以前のレオロジー的考察から判明しているので、それを適用して



両対数紙上にプロットしてみる。その典型例は図-3(a)に示すよ；であって、2本以上の折線から構成されるのみなせるものが多い。この図は Jordan Buff clay として、一軸供試体に軸方向変位を動的に与えた結果を整理したもので、旋轉はてせん断強度  $\gamma_u = \sigma_{1,\max}/2$  で割った値を表わしている。

直線の立ち上りは  $45^\circ$  の傾斜をもち、オ1の折線に相当する降伏応力、いすみをそれぞれ  $\tau_0$ 、 $\gamma_0$  とする。図-3(a)の  $\tau$ 、 $\gamma$  をこれら  $\tau_0$ 、 $\gamma_0$  で割ると図-3(b)となり、これがモデル表示した土の動的応力へいすみ曲線である。なお降伏点0を過ぎてから後の直線の傾斜は、土の種類によって変化するので、図では2本の直線OA、OBに囲まれる範囲で表わしている。

### 3. 動的せん断弾性係数といすみ

あるいすみに対する動的せん断弾性係数  $G$  と、微小いすみに対する  $G_0$  との比  $G/G_0$  は、 $G/G_0 = (\tau/\tau_0)(\gamma_0/\gamma)$  と表わされ、しかも  $\tau/\tau_0$  と  $\gamma_0/\gamma$  の関係は図-3(b)のFにモデル表示したので、 $G/G_0 \sim \gamma_0/\gamma$  あるいは  $G/G_0 \sim \tau/\tau_0$  の関係を容易に導くことができる。

今、応力・いすみのいすみに着目してもよいか、従来から、 $G$  は応力レベルよりもいすみの大きさによる変化を問題にすることが多いので、ここでいすみ依存性を考え、 $G/G_0 \sim \gamma_0/\gamma$  の関係を描くと図-4となる。すなはち  $(\gamma/\gamma_0) \leq 1$  では  $(G/G_0) = 1$ 、 $(\gamma/\gamma_0) > 1$  では両対数紙上で右下りの直線となり、その直線の傾斜は、図-3(b)のオ1折線以上の直線のそれと  $\alpha$  とすれば、 $-(1-\alpha)$  で与えられる。

さて図-1に示した各種の土について、降伏点いすみ  $\gamma_0$  を求めるためには、動的  $\tau \sim \gamma$  曲線(両対数プロット)を描き、オ1折線を見出すよいか、 $G$  を算定する基礎、応力といすみに関する資料が入手困難なものが多く、その場合にはやむをえず  $\log(G/G_0) \sim \log \gamma$  曲線の急曲率より近似的に  $\gamma_0$  を求めることとした。その結果、図-1に引用した土では、 $\gamma_0$  の値は砂質土； $0.9 \sim 2.0 \times 10^4$ 、粘性土； $2.0 \sim 7.0 \times 10^4$  で、いずれもいすみのオーダーは  $10^4$  であるが、粘性土の方が大きいのが特徴である。

それらの土の  $\gamma_0$  を用い、 $\gamma/\gamma_0$  と  $G/G_0$  の関係を一括して示すと図-5中の実線曲線群がえられる。図中に斜線で囲んだ範囲は、大岡・吉見の成果<sup>b)</sup>を記入したものであり、これは Seed-Idriss の曲線<sup>c)</sup>と同様、 $G_0 = 1.100 \text{ kg/cm}^2$ 、 $\gamma_0 = 1.0 \times 10^4$ として図上にあけるその位置を求めた。

図-5をみると、曲線群の形は土の種類にかかわらず図-4のモデルとよく似ているので、このよじを表示法が今後土の動的問題を扱う上で何らかの手掛かりを与えてくれるのではないかと期待してみる。なお  $\gamma/\gamma_0 = 1.0$  を通す2本の直線(実線)は、図-4あるいは図-3(b)のOA、OBに対応するものであって、変動範囲をあつたこれら2本の直線より、実験式として

$$(G/G_0) = (\gamma/\gamma_0)^{-(0.75 \pm 0.1)}$$

がえられる。

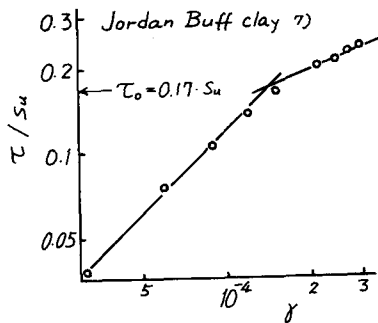


図-3(a)

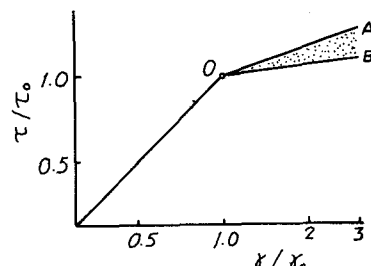


図-3(b)

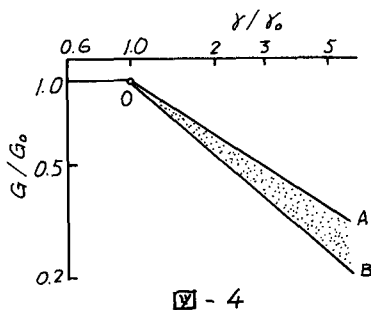


図-4

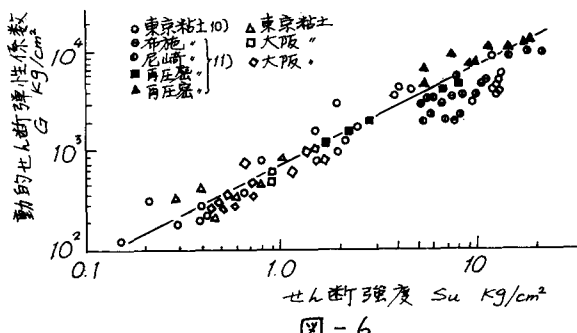


図-6

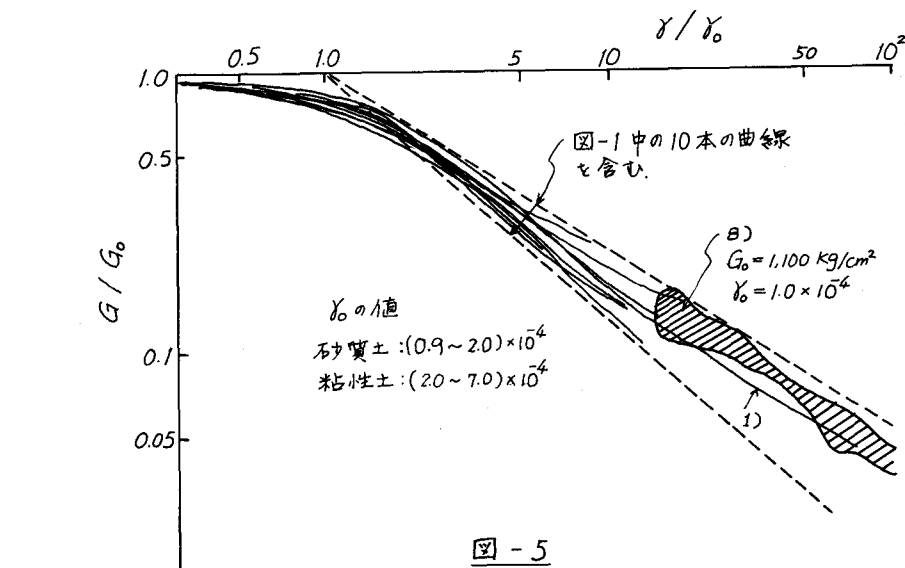


図-5

#### 4. 動的せん断弾性係数の測定

前述図-5の関係を実際に適用しえうとすれば、降伏点ひずみ $\gamma_0$ とともに微小ひずみ $\gamma_0$ を知る必要がある。

砂については、これが向げき比 $\lambda$ 平均主応力の関数として表わされることが報告されているが、筆者らは三軸・伸張状態における砂供試体について測定した結果では、 $G$ は平均主応力 $\sigma_1$ も、動的せん断応力を加えた面に作用する垂直応力が支配的である。

粘土に関する実験は超音波パルス法を用いて、S波速度から $G$ を求める方法によった。これによれば、共振周波数が25KCと高く、またひずみ也非常に小さいので、おそらく $G$ の値としては最高に近い（すなわち $G_0$ ）ものがえられるのではないかと思われる。

図-6には6種類の粘土についての結果が、 $G$ とせん断強度 $S_u$ との関係としてプロットされている。図中、黒塗りの記号は鉛直圧し角压密粘土を示し、角压密粘土と、 $S_u$ の低い乱さない粘土では $G \sim S_u$ 関係にみられる直線のばらつきは比較的小ない。一方、 $S_u$ の大きい乱さない粘土では一軸強度がやや低く測定されているのではないかと思われる。結局、図-6によれば粘土の $G_0/S_u$ の値としては、700程度と考えられる。

#### 引用文献

- 1) Seed, H.B. and I.M. Idriss : Influence of soil conditions on ground motions during earthquake, Proc. ASCE, Vol. 95, SM 1, 1969, 99-137.
- 2) Drenvich, V.P., J.R. Hall and F.E. Richart : Effect of amplitude of vibration on the shear modulus of sand, Proc. Int. Symp. Wave Propagation and Dynamic Properties of Earth Materials, 1967, 189-199.
- 3) 中崎英彦：動態時の粘土の力学性について，京都大学修士論文，昭41。
- 4) 竹中津之介，西垣好彦：大阪地盤の応力と変形の関係について，大阪府防災計画調査報告書，昭46，46-68。
- 5) Krizek, R.J. and A.G. Franklin : Nonlinear dynamic response of soft clay, ASTM, STP 450, 1969, 96-129.
- 6) Hardin, B.O. and W.L. Black : Vibration modulus of normally consolidated clay, Proc. ASCE, vol. 95, SM 6, 1969, 1531-1537.
- 7) Kondner, R.L. and R.J. Krizek : A rheological investigation on the dynamic response spectra of soils, Report of The T. I. of Northwestern Univ., 1962.
- 8) 大田弘，吉見吉昭：砂のせん断弾性係数について，第6回土壤工学研究発表会，昭46，245-248。
- 9) 柴田徹，石黒良太，塙田寛作：土中伝播する弹性波速度に関する考察，土本学会関西支部講演会，昭46。
- 10) 鳥悦三，工藤一嘉：地震時に於ける地盤の挙動について，第6回災害科学シンポジウム，1969, 67-70。
- 11) 八木則男，石井義明：土または岩石における超音波伝播速度と力学性，京大防災研年報，12号，昭44.  
77-88.